

電力中央研究所 正会員 安芸周一

I 緒言

揚水式発電所の大型化に伴つて、比較的幅の狭い河谷に建設される大規模発電所建屋の設置位置の選定がダムの洪水対策とも関連して重要な問題となつてきている。第1図は最近中国電力株式会社によって高梁川水系成羽川に建設された新成羽川発電所であるが、この例は発電所設置位置の一つの解決策を示すものである。図のように高さ103mの重力アーチ式ダムの直下流に峡谷を横断して出力300MWの揚水式発電所を建設し、発電所の屋根を幅60m、長さ50mにわたりて設計洪水流量2,400m³/sの洪水吐のシートに利用し、さらには洪水水流をスキー・ジャンプ式に発電所放水路に放流するようになっている。本ダムの計画に当つて、最大流速35%を超える高速な洪水流が発電所屋根にどのような荷重を与えるかということが問題になり、設計時にあつて水理模型実験を基礎とした検討が行なわれた。この結果、洪水放流時に発電所屋根に作用する荷重を静的および動的荷重共に屋根上のシートに沿つて発達する乱流境界層の特性に関連させて解析し、これに基づいて発電所建屋の構造設計が行なわれた。

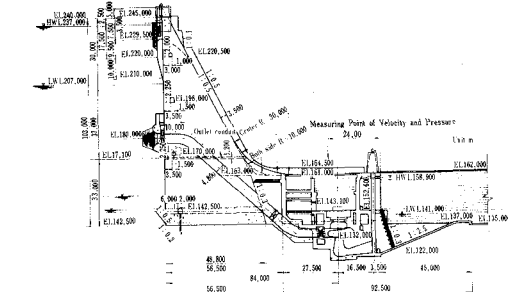
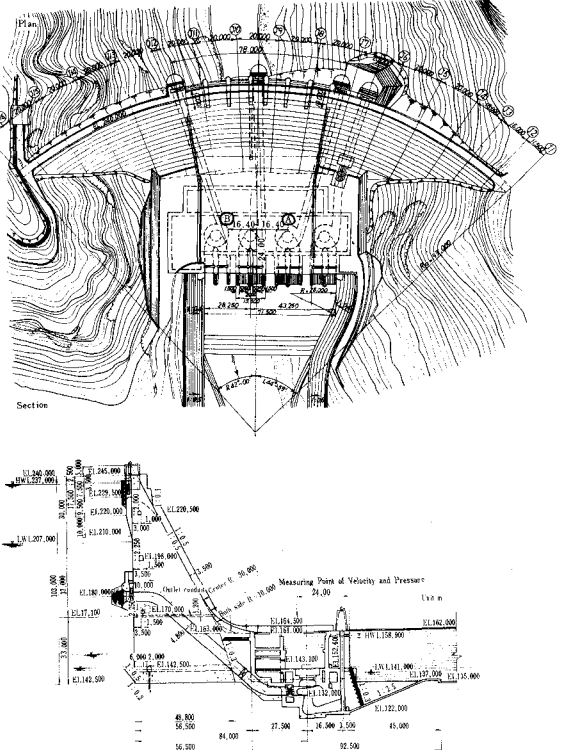
ダムの完成に当り、設計時にあける推定値の適合性およびダム、発電所の洪水時における安全性を検証する目的で実物ダムにおける人工的な洪水放流実験が行なわれた。洪水の放流量は人工的洪水と同一制約から1,000%, 750%, 500%の3種とどもったが、実物規模における高速流の特性および水路壁面に作用する動荷重は設計時の推定値と良く一致し、設計条件の妥当性が確かめられた。

II 流速および圧力の測定方法

発電所屋根に作用する荷重は垂直および切線方向共に屋根面上沿つて発達する乱流境界層の特性に関連させて定められるものと考へられており、屋根上の垂直方向の流速分布を知るには以下の方針。この下に孔式ピトー管を第1図に示したA点に設置して流速分布の測定を行なつた。多孔式ピトー管の詳細は第2図に示すようであるが、動水圧は銅パイプによって屋根版の下に導かれて計測した。流速による動水圧は最大約6.0%/mに達するものと推定されており、その測定にはブルドン管

* 安芸周一「発電所屋根をシートに利用したスキー・ジャンプ式洪水吐の水理解析」第26回国講

第1図 新成羽川ダムの概要



式圧力計を用いた。ブルドン管は直径20mm, 測定範囲0~10kg/cm²の標準型を選択し、実験室内において高速ジェットおよびコンプレッサーを用いて検定した。高速ジェットによる検定においてもブルドン管の指針は良く安定し、目盛との対応も良好であった。しかし、実物の流れでは乱流境界層内の強い乱れのためにある程度の指針の振れは避け難いものと考えられたので、12ヶのブルドン管指針を一定時間毎に同時撮影し、その指示値の平均をもって流速を求めるものとした。

圧力の測定は差圧式圧力変換器を用いて行なった。圧力の測定は圧力を流速分布の特性と関連させて解析する目的で第1図に示すように流速測定点と渓水吐中心線をはさんで対称なB点を基準点とした。そして、圧力変動の空間的規模を測定する目的で基準点を原点として流れ方向に7ヶ、流れと直角方向に4ヶの圧力計を設置した。圧力計の受圧面直径は30mm, 圧力測定範囲0~1kg/cm², 個有振動周期1KC/secである。圧力計設置の模式図を第3図に示すが、11ヶの圧力計の出力は屋根版を通じて導かれて、直列増幅器と経て磁気テープに記録された。

Ⅱ シュート上の流れの特性

流速分布の測定結果を第4図に示す。図のように、流れは流速分布の一様な主流部と乱流境界層部分の2つに明瞭に区分される。ここで境界層内の流速分布が粗面の対数分布則に従うものとして解析すると

$$\frac{V}{V_*} = 8.48 + 5.75 \log \frac{y}{R} \quad (1), \quad \frac{V}{V_*} = 8.48 + 5.75 \log \frac{S}{R} \quad (2)$$

但し、 V_* = $\sqrt{\tau}$; 摩擦速度, τ ; 界層内で底面よりyの長さの流速, S ; 界層厚, R ; 粗度

ここで、壁面剪断力 τ_0 は局所抵抗係数 C_f を用いて

$$\tau_0 = C_f \frac{P V_*^2}{2} \quad (3) \quad , \quad (2), (3) \text{ 式より} \quad (4)$$

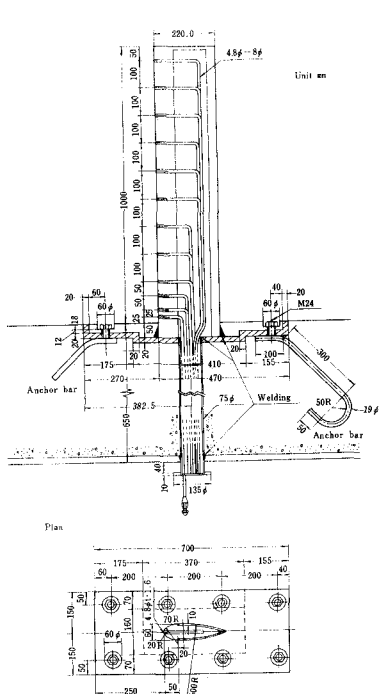
$$C_f = \frac{2}{(8.48 + 5.75 \log \frac{S}{R})^2} \quad (4)$$

また、(1), (3)式より

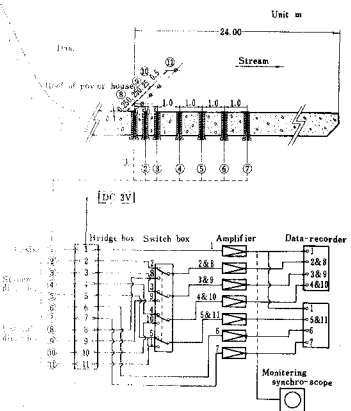
$$\frac{V}{V_*} = 8.48 \sqrt{\frac{C_f}{2}} + 5.75 \sqrt{\frac{C_f}{2}} \log \frac{y}{R} \quad (5)$$

(5)式は流速測定値 V/V_* を C_f と長の関数として示すものであるから、 V/V_* と y の実測値を用いて(5)式の関係をもつとも良く表現する C_f と長の組合せを図式的に求めると、 $R = 0.06 \text{ mm}$, $C_f = 0.0022$

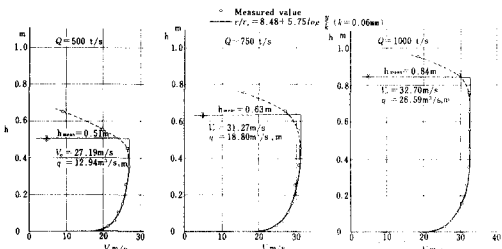
第2図 多孔式ピトー管



第3図 圧力計設置模式図



第4図 流速分布測定結果



と定められた。従って、境界層厚 δ は(4)式より $\delta = 0.35 \text{m}$ と求められる。オフ図の実線は(5)式の計算結果であるが、ひし、 δ の実測値共に計算値と良く一致する事が解る。(3)式より q_b を求め、(1)式によつて実験値を整理したもののがオフ図であるが、屋根上の流れは粗面の断面分布則で良く表現される。

ここで、流速測定実験の流速分布がどのような過程で形成されたかという事は、屋根上での流れの乱流境界層の発達過程を知らねばならない。

水平水路上の2次元乱流境界層流の基本式は

主流部のエネルギー方程式として

$$E = \frac{V_0^2}{2g} + h = \text{const} \quad (6)$$

連続式として

$$q_b = V_0 (h - \delta^*) \quad (8)$$

(6), (7), (8)式および(1)式より、乱流境界層の発達過程として次式が得られる。

$$\frac{d\delta^*}{dx} = \frac{V_0(V_0 - 11.5\delta^*) \cdot (88 - V_0^2)}{(8.48 + 5.75 \log V_0 \delta^*/5.75 R_{\infty})^2 \{ 88 - V_0^2 + q_b V_0 (2 + V_0/(V_0 - 11.5\delta^*)) \delta^* \}} \quad (9)$$

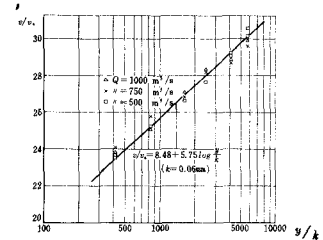
$$\frac{dV_0}{dx} = \left(\frac{q_b V_0^2}{88 - V_0^2} \right) \frac{d\delta^*}{dx} \quad (10)$$

(9), (10)式によつて、乱流境界層の発達過程を求めるためには初期条件として屋根上流端での δ が与えられねばならないが、これを解析的に求めることは難しい。アクリル樹脂製の滑面水路の模型実験結果の一例をオフ図に示すが、図のように屋根始端にはほぼ一様な流速分布を生じ、あたかも境界層形成の初期のようである。そして、この一様な流速分布に対して壁面抵抗による境界層が次第に発達して行く。このような一様な流速分布が屋根始端に形成される理由をバケットカーブ部の急激な圧力勾配の変化による流れの混合にあるものとし、実物のシートにおいても同様な混合作用のあるものと仮定し、(9), (10)式計算の初期条件として模型実験値の実物換算値を用いた。計算結果はオフ図に示す通りであり、境界層の発達過程は実測値と良好一致を示している。

IV シートに作用する力

シートに作用する力は高流速の乱流変動のために時々刻々不規則に変動する動的な力である。この

オフ図 流速分布



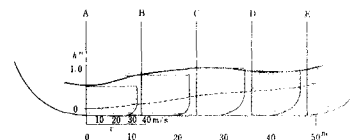
境界層部の運動量方程式として

$$\frac{C_f}{2} = \frac{d}{dx} \left(\frac{\delta^*}{H} \right) + \frac{(2+H)}{H} \frac{\delta^*}{V_0} \frac{dV_0}{dx} \quad (7)$$

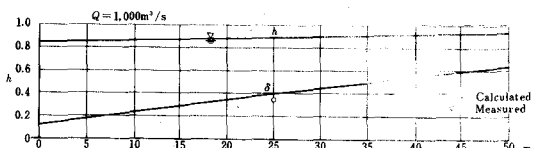
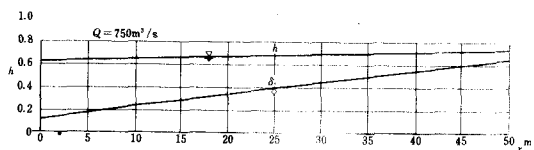
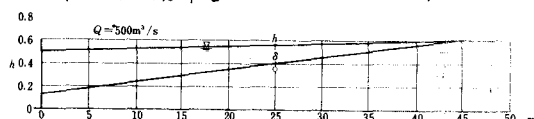
但し、 q_b ；単位幅当たりの流量、 δ^* ；境界層排除厚

$$H = \delta^*/\theta, \theta ; \text{境界層運動量厚}$$

オフ図 境界層発達過程（模型実験）



オフ図 境界層発達過程（実測値）



内、時間平均的直垂下および切線方向の力は水深による重力および平均摩擦力をとして境界層の発達から解析され、それが $\beta = 1.000 \frac{m^2}{s}$ に対し、 $0.84 \frac{m}{s}$ および $0.12 \frac{m}{s}$ であった。一方、屋根面には周波数範囲 5 ～ 300 Hz、最大振幅約 3% (1.000%) の不規則な圧力変動が直垂方向に作用したが、これは乱流境界層内の壁面圧力変動として良く説明された。境界層内には強い速度勾配のために激しい渦が形成され、これが流れによって輸送される間に不規則な圧力変動を壁面に与える。この圧力変動は流れの乱れと平均的剪断力の相互作用が主たる成因でありその強度は次式で与えられる。

$$\sqrt{\bar{P}_{wz}} = \beta C_f \frac{P v_c^2}{2} \quad (11) \quad \text{但し, } P_{wi} \text{ 壓力の平均値} \\ \text{よりの偏差}$$

β は常数であるが、乱れと圧力計の尺度の関数であり、**図 8 図** のような実験結果^{*}が示されており、実測値はこれと良く対応し、 $\beta \approx 0$ の値として $\beta = 3.9$ と与えられた。ここで、 d は圧力計受圧面の直径である。

圧力変動の空間的規模および流れによって輸送される速度は圧力変動の時間空間相関の解析から求められる。

$$R(\xi, \eta, \tau) = \frac{P_w(x_i, y_i, t) P_w(x_i + \xi, y_i + \eta, t + \tau)}{\sqrt{P_w^2(x_i, y_i, t)} \sqrt{P_w^2(x_i + \xi, y_i + \eta, t + \tau)}} \quad (12) \quad \text{但し, } \xi, \eta; x, y; \text{ 方向の距離, } \tau; \text{ 時間差}$$

圧力変動の流れ方向の相関 $R(\xi, 0, \tau)$ および流れと直角方向の相関 $R(0, \eta, \tau)$ の計算結果は **図 9 図** のようである。図のように、流れ方向の相関は圧力変動の輸送形態を明確に示し、輸送速度は $v_c = \frac{\xi}{\tau}$ より、 $v_c \approx 0.8 \frac{m}{s}$ と求められた。一方、流れと直角方向の相関は流れ方向に較べてかなり小さく、位相的に同時性を有する圧力変動の空間的規模は流れ方向に約 $14 \frac{m}{s} \approx 1.2 \frac{m}{s}$ 、流れと直角方向に約 $2.5 \approx 0.18 \frac{m}$ と推定された。また、圧力変動は広い周波数帯にわたる不規則変動であり、そのパワー・スペクトル関数の一例を **図 10 図** に示す。

V 結語

以上のように、発電所屋根上のシートの流速分布および荷重条件は設計時に予期したように乱流境界層の特性と連づけて良く説明された。圧力変動は不規則であること、位相的に同時性を有する範囲の細分化されておりこれが振動の外力としてきびしいものではなく、発電所建屋の不安定振動の発生は全く認められなかつた。

図 8 図 β と βS の関係

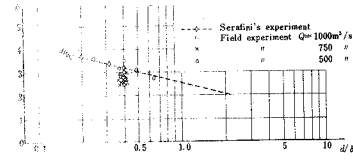


図 9 図 時間空間相関係数

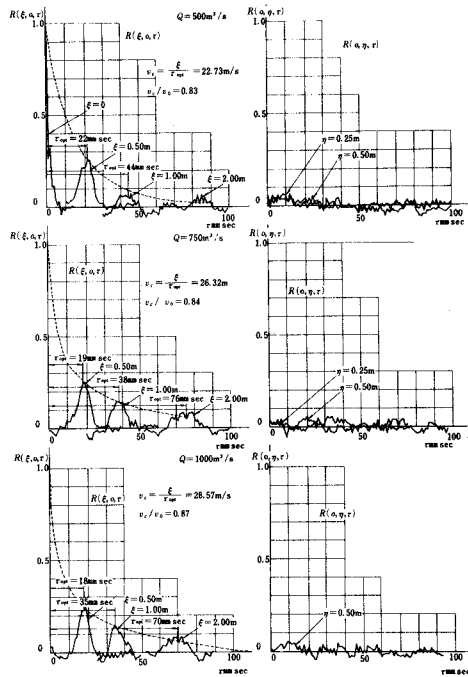
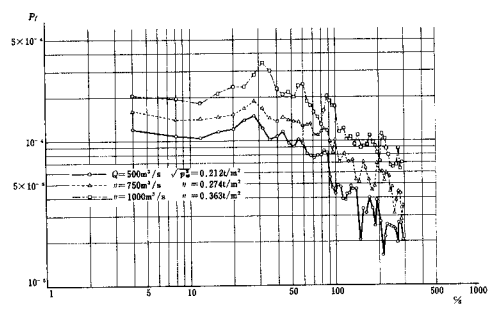


図 10 図 パワー・スペクトル関数



* Serafini, Wall Pressure Fluctuations and Pressure Velocity Correlations in a Turbulent Boundary Layer, NASA Report R-165